

# Électrophorèse d'une particule allongée sous l'action d'un champ électrostatique axisymétrique

Antoine SELLIER

École polytechnique Ladhyx, 91128 Palaiseau cedex France  
Courriel : ladhyx@ladhyx.polytechnique.fr

(Reçu le 13 juillet 1999, accepté le 2 novembre 1999)

---

**Résumé.** On approxime asymptotiquement (en fonction de son petit paramètre d'élanement) le mouvement d'une particule allongée, de potentiel « zeta » arbitraire, sous l'action d'un champ électrique axisymétrique (par rapport à la direction principale de la particule) quelconque. Contrairement à la littérature existante, l'étude n'est pas restreinte au cas d'une particule à sections circulaires de potentiels « zeta » constants. © 2000 Académie des sciences/Éditions scientifiques et médicales Elsevier SAS

*Particule élanée / électrophorèse / écoulement de Stokes*

## *Electrophoretic motion of a slender particle embedded in an axisymmetric electric field*

**Abstract.** *We consider a slender particle of straight centre-line (the line to which it collapses as its slenderness ratio  $\epsilon$  vanishes) and of possibly non-uniform zeta potential. The body, not necessarily of circular cross-section, is embedded in a given electric field of revolution about the centre-line. Under those assumptions, this work asymptotically approximates, with respect to  $\epsilon$ , the electrophoretic motion of the particle.* © 2000 Académie des sciences/Éditions scientifiques et médicales Elsevier SAS

*Slender particle / Electrophoresis / Stokes flow*

---

## *Abridged English Version*

We consider a straight and slender particle  $\mathcal{P}$  whose smooth boundary  $S$  admits ends  $O$  and  $E$  with  $\mathbf{OE} = L\mathbf{e}_3$  (see figure 1). If  $r'$  denotes the distance to the  $(O, \mathbf{e}_3)$  axis, the small slenderness ratio  $\epsilon$  obeys  $L\epsilon = e := \text{Max}_{M \in S} [r']$  and, in dimensionless cylindrical coordinates  $(r, \theta, x_3)$  such that  $r' = \epsilon r$  and  $\mathbf{OM} \cdot \mathbf{e}_3 = Lx_3$ , the equation of  $S$  reads  $r = f(\theta, x_3)$  where the smooth enough function  $f^2$  vanishes for  $x_3(1 - x_3) = 0$  and  $\partial_v^1 f = \partial f / \partial v$  for  $v \in \{\theta, x_3\}$ . The solid  $\mathcal{P}$ , of zeta potential  $\zeta$ , is embedded in an unbounded electrolyte of viscosity  $\mu$  and constant permittivity  $\epsilon_e$ . Hence, under the action of an external electric field  $\mathbf{E}_\infty$ , it experiences a rigid-body motion described by the velocity

---

Note présentée par Paul GERMAIN.

$\mathbf{U}$  of  $O$  and the angular velocity  $\boldsymbol{\omega}$ . If  $\mathbf{E}_\infty$  and  $\zeta$  are uniform, the Smoluchowski's formula  $(\mathbf{U}, \boldsymbol{\omega}) = (\epsilon_e \zeta \mathbf{E}_\infty / \mu, \mathbf{0})$  holds [1-3]. This Note approximates, with respect to  $\epsilon$ , the solution  $(\mathbf{U}, \boldsymbol{\omega})$  for the more tricky case of non-uniform zeta potential  $\zeta$  and axisymmetric field  $\mathbf{E}_\infty$ . Contrary to available results [4], the particle does not need to be of circular cross-section.

Henceforth, indices  $i$  or  $j$  belong to  $\{1, 2, 3\}$  while  $l \in \{1, 2\}$  and the usual summation convention is used. If  $S$  is nonconducting and admits a typical radius of curvature  $R$ , very large compared to the Debye-Hückel screening length  $\kappa^{-1}$  [5-6], the fluid velocity  $\mathbf{u}$ , the fluid pressure  $p$  and the perturbation electrostatic potential  $\phi$  satisfy (2.1)-(2.2), where  $\mathbf{n}$  denotes the outer unit normal vector, and the boundary condition (2.3) (see [7]). By virtue of the reciprocal theorem [8], the requirement of zero net hydrodynamic force and torque on  $\mathcal{P}$  yields therefore the governing system (2.4)-(2.6) for  $\mathbf{U} = U_j \mathbf{e}_j$  and  $\boldsymbol{\omega} = \omega_j \mathbf{e}_j$  if  $\boldsymbol{\sigma}_T^{(i)} \cdot \mathbf{n}$  or  $\boldsymbol{\sigma}_R^{(i)} \cdot \mathbf{n}$  denote the hydrodynamic surface stresses acting on  $S$  for fluid motions obeying (2.1) with  $\mathbf{u}_d = \mathbf{e}_i$  or  $\mathbf{u}_d = \mathbf{e}_i \wedge \mathbf{OM}$  respectively. The solution  $(\mathbf{U}, \boldsymbol{\omega})$  of (2.4)-(2.5) is unique [9] and (see (2.6)) its approximation rests on the asymptotic expansion of vectors  $\mathbf{E}_\infty - \nabla\phi$ ,  $\boldsymbol{\sigma}_T^{(i)} \cdot \mathbf{n}$  and  $\boldsymbol{\sigma}_R^{(i)} \cdot \mathbf{n}$  on  $S$ . For  $\mathbf{E}_\infty$  axisymmetric and of typical magnitude  $E$  near  $\mathcal{P}$ , one obtains  $\mathbf{E}_\infty = EL \nabla[\psi(\epsilon^2 r^2, x_3)]$  with a smooth enough function  $\psi$  (see [10]). Accordingly [11], the term  $\nabla\phi \cdot \mathbf{e}_3$  is small on  $S$  as compared to  $\mathbf{E}_\infty \cdot \mathbf{e}_3$  and equalities (3.1) hold with  $\partial_{x_3}^1 \psi = \partial\psi/\partial x_3$ . With definitions (2.7), (3.2),  $t_{T,j}^{(i)} = t_T^{(i)} \cdot \mathbf{e}_j$  and  $t_{R,j}^{(i)} = t_R^{(i)} \cdot \mathbf{e}_j$  it follows [12] that  $fs_0 t_{T,3}^{(k)} = O(\epsilon/\log \epsilon)$ ,  $fs_0 t_{T,k}^{(3)} = O(\epsilon/\log \epsilon)$ ,  $fs_0 t_{T,l}^{(k)} = O(1/\log \epsilon)$  and also that  $fs_0 t_{R,3}^{(k)} = O(\epsilon)$ ,  $fs_0 t_{R,k}^{(3)} = O(\epsilon)$ ,  $fs_0 t_{R,l}^{(k)} = O(1/\log \epsilon)$ . Moreover, if the operator  $K^{x_3}$  and the function  $u_0$  obey (3.3) in any dimensionless cross-section  $C(x_3) = \{P(r, \theta, x_3); r = f(\theta, x_3)\}$  with  $dl_p = fs_0 d\theta_p$  and  $r_{PM} = PM/e$ , then (3.4)-(3.6) hold ( $fp$  indicating the Hadamard's finite-part [13]). Provided that  $\zeta$ ,  $U_i$ ,  $L\omega_l$  and  $e\omega_3$  are made dimensionless by the average  $\bar{\zeta}$  of  $\zeta$  on  $S$  and the velocity  $\epsilon_e \zeta E/\mu$ , it is possible to cast (2.4)-(2.5) into the form (3.7) with  $8\pi La = K_{33} \log \epsilon$ ,  $8\pi L^2 \epsilon c = C_{33} \log \epsilon$ ,  $8\pi \bar{\zeta} E b = T^{(3)} < \zeta(\mathbf{E}_\infty - \nabla\phi) > \log \epsilon$  and (3.8)-(3.9). Cramer's rule yields the asymptotic solution (3.10) with  $\epsilon_1 := \epsilon \log \epsilon$  for  $c \neq 0$ , else  $\epsilon_1 := \epsilon$  (for instance  $\bar{c}$  vanishes as soon as  $\mathcal{P}$  admits a plane of symmetry [9]).

For  $\zeta$  and  $\mathbf{E}_\infty = \mathbf{e}_3$  uniform, (3.10) reads  $U_3 = 1 + O(\epsilon)$  and this agrees with the Smoluchowski's velocity  $U_{3s} = 1$ . For other cases,  $U_3 - U_{3s}$  may be large. Indeed, (3.5) shows that (4.1) holds and for  $\zeta = \zeta(x_3)$  the term  $U_{30}$  becomes  $\int_0^1 \zeta(x_3) \partial_{x_3}^1 \psi(0, x_3) dx_3$  and may vanish (for instance, take for  $\zeta(x_3) \partial_{x_3}^1 \psi(0, x_3)$  an odd function of  $x_3 - 1/2$ ). In the case of a particle of elliptical cross sections (such that (4.2) holds on  $S$ ) with  $\zeta = \zeta(\varphi, x_3)$ , if  $\varphi$  denotes the elliptical angle ( $\tan \theta = \eta \tan \varphi$ ), then  $c_0$  and  $u_0$  obey (4.3) and, therefore  $U_{30}$  is given by (4.4). Finally, one can easily derive the improved estimate (4.5) for a slender ellipsoid (take  $h^2(x_3) = 4x_3(1 - x_3)$ ).

## 1. Introduction

L'électrophorèse (voir la rubrique suivante) étudie le mouvement  $(\mathbf{U}, \boldsymbol{\omega})$  d'une particule solide, de potentiel « zêta »  $\zeta$ , sous l'action d'un champ électrique imposé  $\mathbf{E}_\infty$ . Pour  $\zeta$  et  $\mathbf{E}_\infty$  uniformes, la solution de Smoluchowski  $(\mathbf{U}, \boldsymbol{\omega}) = (\epsilon_e \zeta \mathbf{E}_\infty / \mu, \mathbf{0})$  s'applique [1-3]. Pour certaines applications où la particule est allongée (argile par exemple) et  $\mathbf{E}_\infty$  ou  $\zeta$  ne sont pas a priori uniformes, estimer asymptotiquement  $(\mathbf{U}, \boldsymbol{\omega})$  revêt un réel intérêt [4]. Cette note présente, dans le cas simplifié de  $\mathbf{E}_\infty$  axisymétrique (voir ci-après) et  $\zeta$  quelconques, une méthode générale approximant  $(\mathbf{U}, \boldsymbol{\omega})$  pour une particule allongée arbitraire (pas nécessairement à sections circulaires où  $\zeta$  est uniforme, comme supposé dans [4]).

## 2. Le système à résoudre et les hypothèses de travail

Soit une particule solide (ouvert connexe  $\mathcal{P}$  de frontière  $S$ ; voir *figure 1*) plongée dans un électrolyte, de viscosité  $\mu$  et de permittivité diélectrique  $\epsilon_e$ , occupant le domaine infini  $\Omega = \mathbb{R}^3 \setminus \mathcal{P}$ . Par interaction avec l'électrolyte,  $S$  acquiert une distribution de charges et de « zêta » potentiel  $\zeta$  et une pellicule d'ions, d'épaisseur d'ordre de la longueur  $\kappa^{-1}$  de Debye-Hückel, enveloppe  $\mathcal{P}$  [5]. Sous l'action d'un champ électrostatique  $\mathbf{E}_\infty$ , la particule admet un mouvement décrit par la vitesse  $\mathbf{U}$  de l'un de ses points  $O$  et sa vitesse de rotation  $\boldsymbol{\omega}$ . Pour  $S$  non conductrice et de rayon de courbure typique  $R \gg \kappa^{-1}$  [6], le potentiel électrostatique de perturbation  $\phi$ , la vitesse  $\mathbf{u}$  et la pression  $p$  de l'électrolyte Newtonien vérifient

$$\nabla^2 \phi = 0 \text{ dans } \Omega ; \quad \nabla \phi \rightarrow \mathbf{0} \text{ si } OM \rightarrow \infty ; \quad \nabla \phi \cdot \mathbf{n} = \mathbf{E}_\infty \cdot \mathbf{n} \text{ sur } S \quad (2.1)$$

$$\mu \nabla^2 \mathbf{u} = \nabla p, \quad \nabla \cdot \mathbf{u} = 0 \text{ dans } \Omega ; \quad (\mathbf{u}, p) \rightarrow (\mathbf{0}, 0) \text{ si } OM \rightarrow \infty ; \quad \mathbf{u} = \mathbf{u}_d \text{ sur } S \quad (2.2)$$

où  $\mathbf{n}$  désigne la normale sortante à  $S$  et  $\mathbf{u}_d$  est liée à  $(\mathbf{U}, \boldsymbol{\omega})$  et  $(\mathbf{E}_\infty, \nabla \phi)$  par [7] :

$$\mathbf{u}_d(M) = \mathbf{U} + \boldsymbol{\omega} \wedge \mathbf{OM} - \epsilon_e \zeta(M) [\mathbf{E}_\infty - \nabla \phi](M) / \mu \quad (2.3)$$

Le couple  $(\mathbf{U}, \boldsymbol{\omega})$  est alors obtenu en exigeant la nullité du torseur des efforts hydrodynamiques exercés par l'écoulement  $(\mathbf{u}, p)$  sur  $\mathcal{P}$ . En notant, pour  $i \in \{1, 2, 3\}$ ,  $\boldsymbol{\sigma}_T^{(i)}$  et  $\boldsymbol{\sigma}_R^{(i)}$  les tenseurs des contraintes associés aux six écoulements particuliers régis par (2.1) respectivement pour  $\mathbf{u}_d = \mathbf{e}_i$  et  $\mathbf{u}_d = \mathbf{e}_i \wedge \mathbf{OM}$ , l'usage du théorème de réciprocité mène au système [8]

$$\mu \{K_{ij} U_j + C_{ij} \omega_j\} = \epsilon_e T^{(i)} \langle \zeta(\mathbf{E}_\infty - \nabla \phi) \rangle ; \quad K_{ij} = T^{(i)} \langle \mathbf{e}_j \rangle ; \quad C_{ij} = R^{(j)} \langle \mathbf{e}_i \rangle \quad (2.4)$$

$$\mu \{D_{ij} U_j + \Omega_{ij} \omega_j\} = \epsilon_e R^{(i)} \langle \zeta(\mathbf{E}_\infty - \nabla \phi) \rangle ; \quad \Omega_{ij} = T^{(j)} \langle \mathbf{e}_i \wedge \mathbf{OM} \rangle ; \quad D_{ij} = C_{ji} \quad (2.5)$$

où la convention de sommation d'Einstein est adoptée ( $\mathbf{U} = U_j \mathbf{e}_j$ ,  $\boldsymbol{\omega} = \omega_j \mathbf{e}_j$ ) et :

$$\mu T^{(i)} \langle \mathbf{a} \rangle := - \int_S \mathbf{a} \cdot \boldsymbol{\sigma}_T^{(i)} \cdot \mathbf{n} \, dS ; \quad \mu R^{(i)} \langle \mathbf{a} \rangle := - \int_S \mathbf{a} \cdot \boldsymbol{\sigma}_R^{(i)} \cdot \mathbf{n} \, dS \quad (2.6)$$

Ici, nous cherchons l'unique solution [9] de (2.4)–(2.5) pour une particule allongée (voir *figure 1*) d'extrémités  $O$  et  $E$  telle que si  $L = OE$ ,  $\mathbf{e}_3 = \mathbf{OE}/L$  et  $r'$  est la distance de  $M$  à l'axe  $(O, \mathbf{e}_3)$  alors  $e := \text{Max}_{M \in S} [r'] = \epsilon L$  où  $0 < \epsilon \ll 1$ .

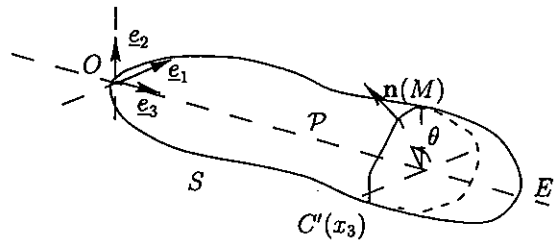


Figure 1. La particule allongée et nos notations.

Figure 1. The slender particle and our notations.

## A. Sellier

Pour  $r' = re$  et  $\mathbf{OM} \cdot \mathbf{e}_3 = Lx_3$ , nous supposons aussi que  $S$  admet en coordonnées cylindriques adimensionnées  $(r, \theta, x_3)$  l'équation  $r = f(\theta, x_3)$  où  $f^2$  est différentiable et s'annule avec  $x_3(1 - x_3)$ . Si  $\partial^1 f = \partial f / \partial v$  pour  $v \in \{\theta, x_3\}$  et  $a$  est réel, notons enfin que

$$dS = eL[fs_\epsilon] (\theta, x_3) d\theta dx_3; \quad s_a := \{1 + (f^{-1} f_\theta^1)^2 + (af_{x_3}^1)^2\}^{1/2} \quad (2.7)$$

Selon (2.4)–(2.7), l'approximation du couple  $(\mathbf{U}, \boldsymbol{\omega})$  en fonction du petit paramètre  $\epsilon$  passe par celle des vecteurs  $\mathbf{E}_\infty - \nabla\phi$ ,  $\boldsymbol{\sigma}_T^{(i)} \cdot \mathbf{n}$  et  $\boldsymbol{\sigma}_R^{(i)} \cdot \mathbf{n}$  sur  $S$ . La rubrique suivante détaille ce travail.

### 3. La solution asymptotique pour $\mathbf{E}_\infty$ axi-symétrique

Si  $\mathbf{E}_\infty = -\nabla\phi_\infty$  de norme typique  $E$  est à symétrie de révolution autour de  $(O, \mathbf{e}_3)$  alors [10], au voisinage de  $\mathcal{P}$ ,  $\phi_\infty(M) = -EL\psi(\epsilon^2 r^2, x_3)$  où la fonction différentiable  $\psi$  et ses dérivées sont de l'ordre de l'unité au voisinage de  $[0, \epsilon] \times [0, 1]$ . Si  $\partial_{x_3}^1 \psi := \partial\psi/\partial x_3$ , nous pouvons négliger  $\nabla\phi \cdot \mathbf{e}_3$  devant  $\mathbf{E}_\infty \cdot \mathbf{e}_3$  sur  $S$  [11] et nous obtenons les estimations

$$\mathbf{E}_\infty \cdot \mathbf{e}_3 = E\{\partial_{x_3}^1 \psi(0, x_3) + O(\epsilon^2)\}; \quad (\mathbf{E}_\infty - \nabla\phi) \cdot \mathbf{e}_l = EO(\epsilon) \text{ si } l \in \{1, 2\} \quad (3.1)$$

D'après (2.6)–(2.7), il reste à estimer asymptotiquement les vecteurs  $\mathbf{t}_T^{(i)} = t_{T,j}^{(i)} \mathbf{e}_j$  et  $\mathbf{t}_R^{(i)} = t_{R,j}^{(i)} \mathbf{e}_j$  définis sur  $S$  par les relations (voir (2.7))

$$8\pi\mu fs_0 \mathbf{t}_T^{(i)} = efs_\epsilon \boldsymbol{\sigma}_T^{(i)} \cdot \mathbf{n}; \quad 8\pi\mu L fs_0 \mathbf{t}_R^{(i)} = efs_\epsilon \boldsymbol{\sigma}_R^{(i)} \cdot \mathbf{n} \quad (3.2)$$

Pour  $k$  et  $l$  appartenant à  $\{1, 2\}$ , les résultats établis dans [12] fournissent d'une part  $fs_0 t_{T,3}^{(k)} = O(\epsilon/\log \epsilon)$ ,  $fs_0 t_{T,k}^{(3)} = O(\epsilon/\log \epsilon)$ ,  $fs_0 t_{T,l}^{(k)} = O(1/\log \epsilon)$ , d'autre part  $fs_0 t_{R,3}^{(k)} = O(\epsilon)$ ,  $fs_0 t_{R,k}^{(3)} = O(\epsilon)$ ,  $fs_0 t_{R,l}^{(k)} = O(1/\log \epsilon)$ . Enfin, si  $C(x_3) = \{P(r, \theta, x_3); r = f(\theta, x_3)\}$  désigne le contour (adimensionné par  $e$ ) de la section de  $\mathcal{P}$  d'ordonnée  $Lx_3$  et l'opérateur  $K^{x_3}$  et la fonction  $u_0$  obéissent aux définition et équation intégrales suivantes

$$K^{x_3}[u] = \oint_{C(x_3)} u(P) dl_P; \quad \oint_{C(x_3)} u_0(P) \log[r_{PM}] dl_P = -1 \text{ sur } S \quad (3.3)$$

et avec  $dl_P = fs_0 d\theta_P$  et  $r_{PM} = PM/e$  nous obtenons également les comportements

$$fs_0 t_{T,3}^{(3)} = \sum_{m \geq 1} fs_0 t_m [\log \epsilon]^{-m} + O\left(\frac{\epsilon}{\log \epsilon}\right); \quad fs_0 t_{R,3}^{(3)} = fs_0 \epsilon^2 \{t_{-1} \log \epsilon + t_0\} + O\left(\frac{\epsilon^2}{\log \epsilon}\right) \quad (3.4)$$

où les fonctions  $t_n$  satisfont  $fs_0 t_n = O(1)$  et, pour  $m \geq 1$ ,

$$K^{x_3}[t_{-1}] = 0; \quad t_m = \frac{T_{x_3}^{m-1}[1]}{4c_0(x_3)} u_0 \quad \text{avec } c_0(x_3) := K^{x_3}[u_0] \neq 0 \quad (3.5)$$

$$T_{x_3}[\alpha(t)] = \left\{ \frac{1}{c_0(x_3)} - \frac{1}{2} + \log 2 \right\} \alpha(x_3) + fp \int_0^1 \frac{\alpha(t) dt}{2|t - x_3|} \quad (3.6)$$

## Électrophorèse d'une particule allongée sous l'action d'un champ électrostatique axisymétrique

si  $fp$  désigne la partie finie au sens d'Hadamard [13],  $T_{x_3}^0 = id$  et enfin  $T_{x_3}^m = T_{x_3}^{m-1} \circ T_{x_3}$  si  $m \geq 1$ . En adimensionnant  $\zeta$  par sa moyenne  $\bar{\zeta}$  sur  $S$  et les vitesses  $U_i$ ,  $e\omega_3$  et  $L\omega_l$  par  $\epsilon_e \bar{\zeta} E/\mu$  les comportements et définitions précédents permettent alors de réécrire le système (2.4)–(2.5) sous la forme

$$\begin{bmatrix} O(1) & O(1) & O(\epsilon) & O(1) & O(1) & O(1) \\ O(1) & O(1) & O(\epsilon) & O(1) & O(1) & O(1) \\ O(\epsilon) & O(\epsilon) & a & O(\epsilon) & O(\epsilon) & c \\ O(1) & O(1) & O(\epsilon) & O(1) & O(1) & O(1) \\ O(1) & O(1) & O(\epsilon) & O(1) & O(1) & O(1) \\ O(1) & O(1) & c & O(1) & O(1) & O(1) \end{bmatrix} \begin{bmatrix} U_1 \\ U_2 \\ U_3 \\ L\omega_1 \\ L\omega_2 \\ e\omega_3 \end{bmatrix} = \begin{bmatrix} O(\epsilon) \\ O(\epsilon) \\ b \\ O(\epsilon) \\ O(\epsilon) \\ O(\epsilon) \end{bmatrix} \quad (3.7)$$

où  $8\pi La = K_{33} \log \epsilon$ ,  $8\pi L^2 \epsilon c = C_{33} \log \epsilon$  et  $8\pi \bar{\zeta} E b = T^{(3)} < \zeta(\mathbf{E}_\infty - \nabla \phi) > \log \epsilon$ , à savoir

$$a = \bar{K} \log \epsilon + O(\epsilon); \quad b = \bar{T} \log \epsilon + O(\epsilon); \quad c = \bar{c} \epsilon \log \epsilon + O(\epsilon), \quad \bar{c} = \int_0^1 K^{x_3}[t_0] dx_3 \quad (3.8)$$

$$\bar{T} = - \sum_{m \geq 1} \left\{ \int_0^1 \partial_{x_3}^1 \psi(0, x_3) K^{x_3}[\zeta t_m] dx_3 \right\} [\log \epsilon]^{-m}; \quad \bar{K} = - \sum_{m \geq 1} \left\{ \int_0^1 K^{x_3}[t_m] dx_3 \right\} [\log \epsilon]^{-m} \quad (3.9)$$

Une application soignée de la règle de Cramer fournit alors la solution asymptotique cherchée

$$U_3 = \bar{T}/\bar{K} + O(\epsilon); \quad e\omega_3 = O(\epsilon_1); \quad L\omega_l = O(\epsilon_1); \quad U_l = O(\epsilon_1); \quad l \in \{1, 2\}$$

où  $\epsilon_1 = \epsilon \log \epsilon$  si  $\bar{c} \neq 0$  et  $\epsilon_1 = \epsilon$  sinon (par exemple, dès que  $\mathcal{P}$  admet un plan de symétrie  $C_{33}$  et donc  $\bar{c}$  sont nuls [9]). Ainsi, l'approximation de  $(\mathbf{U}, \boldsymbol{\omega})$  requiert seulement la trace de  $\mathbf{E}_\infty \cdot \mathbf{e}_3$  sur le segment  $O'E'$  et l'obtention, dans toute section  $C(x_3)$ , de  $u_0$  via (3.3).

### 4. Commentaires immédiats et applications

Pour  $\zeta$  et  $\mathbf{E}_\infty = \mathbf{e}_3$  uniformes, la solution  $U_3 = 1 + O(\epsilon)$  prédite par (3.8)–(3.10) est compatible avec le résultat  $U_{3s} = 1$  de Smoluchowski [1]. Pour  $\zeta$  ou une trace de  $\mathbf{E}_\infty \cdot \mathbf{e}_3$  sur  $O'E'$  non uniforme(s), l'écart à la solution  $U_{3s}$  peut toutefois être considérable. En effet, (3.5) montre que  $K^{x_3}[t_1] = 1/4$  et l'approximation (3.10) de  $U_3$  s'écrit aussi

$$U_3 = U_{30} + O(1/\log \epsilon); \quad U_{30} = \int_0^1 \partial_{x_3}^1 \psi(0, x_3) K^{x_3}[\zeta u_0]/c_0(x_3) dx_3 \quad (4.1)$$

Ainsi, pour  $\zeta = \zeta(x_3)$  le terme dominant  $U_{30} = \int_0^1 \zeta(x_3) \partial_{x_3}^1 \psi(0, x_3) dx_3$  ne dépend pas de la forme de la particule et peut même s'annuler (par exemple, pour une fonction  $\zeta(x_3) \partial_{x_3}^1 \psi(0, x_3)$  impaire

## A. Sellier

de  $x_3 - 1/2$ ). Si  $\zeta = \zeta(\theta, x_3)$  il faut déterminer la solution  $u_0$  de (3.3) dans toute section  $C(x_3)$ . À titre d'exemple, considérons une particule allongée  $\mathcal{P}$  de sections elliptiques homothétiques telle que, pour  $M \in S$ ,

$$x_1^2 + x_2^2 / \eta^2 = h^2(x_3); \quad ex_l = \mathbf{OM} \cdot \mathbf{e}_l, \quad l \in \{1, 2\} \quad (4.2)$$

où  $0 < \eta = O(1)$  et la fonction  $h^2$ , régulière, s'annule avec  $x_3(1 - x_3)$ . Dans un tel cas [12]

$$\frac{1}{c_0(x_3)} = -\log \left[ \frac{1+\eta}{2} h(x_3) \right]; \quad u_0(\theta, x_3) = \frac{c_0(x_3)}{2\pi\eta\{x_1^2 + x_2^2/\eta^4\}^{1/2}} \quad (4.3)$$

et, en désignant par  $\varphi$  l'angle elliptique (tel que  $\tan \theta = \eta \tan \varphi$ ),

$$U_{30} = \int_0^1 \langle \zeta \rangle(x_3) \partial_{x_3}^1 \psi(0, x_3) dx_3; \quad 2\pi \langle \zeta \rangle(x_3) = \int_0^{2\pi} \zeta(\varphi, x_3) d\varphi \quad (4.4)$$

Ainsi, si  $\zeta(\theta + \pi, x_3) = -\zeta(\theta, x_3)$  pour  $x_3 \in ]0, 1[$  alors  $U_3 = O(1/\log \epsilon)$  pour tout champ  $\mathbf{E}_\infty$  axisymétrique.

Enfin, notons que pour un ellipsoïde allongé (choisir  $h^2(x_3) = 4x_3(1 - x_3)$ ) les résultats (3.5)–(3.6) et (3.9)–(3.10) conduisent à une extension de (4.1). En effet, dans ce cas (4.3) montre que

$$T_{x_3}[1] = -\frac{1}{2} - \log \left[ \frac{1+\eta}{2} \right], \quad U_3 = U_{30} + O(\epsilon) \quad (4.5)$$

où  $U_{30}$  conserve sa définition (4.1). La forme (4.5) de  $U_3$  reste en fait valable pour toute particule allongée à sections homothétiques telle que  $f(\theta, x_3) = h(x_3) g(\theta)$  avec  $h^2(x_3) = 4x_3(1 - x_3)$  (seule la valeur, constante, de  $T_{x_3}[1]$  changeant dans (4.5)).

## Références bibliographiques

- [1] Smoluchowski M.V., In: Handbuch der Elektrizität und des Magnetismus (Ed.) L. Graetz, J.A. Barth, Leipzig, 1921.
- [2] Morrison F.A., Electrophoresis of a particle of arbitrary shape, J. Colloid. Interface Sci. 34 (1970) 210–214.
- [3] Teubner M., The motion of charged colloidal particles in electric fields, J. Chem. Phys. 76 (11) (1982) 5564–5573.
- [4] Solomentsev Y., Anderson J.L., Electrophoresis of slender particles, J. Fluid Mech. 279 (1994) 197–215.
- [5] Hiemenz P.C., Rajagopalan R., Principles of Colloid and Surface Chemistry, Marcel Dekker, New York, 1986.
- [6] Hunter R.J., Zeta Potential in Colloid Science, Academic, New York, 1981.
- [7] Anderson J.L., Colloid transport by interfacial forces, Ann. Rev. Fluid. Mech. 21 (1989) 61–99.
- [8] Kim S., Karrila S.J., Microhydrodynamics: Principles and Selected Applications, Butterworth, 1991.
- [9] Happel J., Brenner H., Low Reynolds number hydrodynamics, Martinus Nijhoff, 1973.
- [10] Geer J., Stokes flow past a slender body of revolution, J. Fluid Mech. 78 (1976) 577–600.
- [11] Sellier A., A slender dielectric body embedded in an arbitrary external potential, soumis à IMA J. of Appl. Math.
- [12] Sellier A., Stokes flow past a slender particle, Proc. Roy. Soc. Lond. A455 (1999) 2975–3002.
- [13] Schwartz L., Théorie des distributions, Hermann, Paris, 1966.